### РОССИЙСКАЯ АКАДЕМИЯ НАУК ИНСТИТУТ МОЛЕКУЛЯРНОЙ БИОЛОГИИ имени В.А.ЭНГЕЛЬГАРДТА

На правах рукописи

#### СЫТИНА Елена Вячеславовна

# Структурно-функциональный анализ промоторных областей гена *oct-1* мыши

Специальность 03 00 03 - молекулярная биология

Автореферат диссертации на соискание ученой степени кандидата биологических наук Работа выполнена в лаборатории молекулярно-генетической иммунологии Института молекулярной биологии им В А Энгельгардта РАН

Научный руководитель: к б н Панкратова Елизавета Владимировна

Научный консультант: д б н, профессор Поляновский Олег Леонидович

Официальные оппоненты: дбн, профессор Георгиева Софья Георгиевна

к б н Николаев Лев Григорьевич

Ведущая организация: Институт биологии гена РАН

Защита диссертации состоится **28** июня 2005г в **12** на заседании Диссертационного совета Д 002 235 01 при Институте молекулярной биологии им В А Энгельгардта РАН по адресу 119991, Москва, ул Вавилова, 32

С диссертацией можно ознакомиться в библиотеке Института молекулярной биологии им В А Энгельгардта РАН

Автореферат разослан 26мая 2005 г

Ученый секретарь диссертационного совета кандидат химических наук A. M. Крицын

9489

2155822

#### Общая характеристика работы.

Актуальность проблемы. Белок Oct-1 — фактор транскрипции, принадлежаший к POU-семейству Описанный в конце 80<sup>х</sup> годов, Oct-1 долгое время считался исключительно «вездесущим» фактором транскрипции, регулирующим работу генов «домашнего хозяйства» клетки Позднее было показано, что Oct-1 принимает участие в регуляции экспрессии ряда тканеспецифических генов, в том числе генов интерлейкинов, легких и тяжелых цепей иммуноглобулинов, генов пролактина, гонадолиберина, тиреотропина и др

Ранее в нашей лаборатории была клонирована кДНК гена oct-1 человека - Oct-1R, которая отличалась на 5'-конце от известной в то время человеческой кДНК oct-1 Было обнаружено, что разные субформы oct-1 мРНК имеют альтернативный 5'-концевой экзон Oct-1R кодирует 10 аминокислот, Oct-1A,B,C - 21 аминокислоту Сотрудниками нашей лаборатории было показано существование альтернативного сплайсинга для гена oct-1 мыши и наличие тканеспецифической регуляции экспрессии гена oct-1 Сходная картина наблюдается при образовании субформ человеческого белка Oct-1 Кроме того были описаны вездесущие и тканеспецифические изоформы Oct-1, показано существование двух первых экзонов гена oct-1 - 1U (обнаружен в «вездесущих» изоформах), присутствует в мРНК oct-1 только в лимфоидных клетках, тимусе, селезенке, лимфатических узлах и в костном мозге) и 1L (присутствует в тканеспецифических изоформах) Были определены точки инициации транскрипции для обоих промоторов Для экзона 5'-области перед экзоном 1U это позиции - 160 и -384 от кодона ATG, перед 1L - проксимальный старт - 159 и дистальный -307

К настоящему моменту описано более полутора десятков генов-мишеней Осt-1, несколько взаимодействующих с ним кофакторов, показано его участие в прикреплении хроматина к ядерной мембране При этом ничего не известно о регуляции экспрессии самого гена oct-1 Данная работа посвящена анализу промоторных областей гена oct-1 мыши, поиску возможных механизмов регуляции экспрессии гена этого полифункционального фактора

**Цели и задачи исследования.** Основной целью данной работы было клонирование промоторных областей гена *oct-1* мыши и изучение механизмов его экспрессии на уровне транскрипции В ходе исследования предполагалось решить следующие задачи

- 1 Составить экзон-интронную карту генов *oct-I* мыши и человека и локализовать положение экзона 1L, определить расстояние между экзонами 1U и 1L в геномах мыши и человека
- 2 Клонировать 5'-области гена *oct-1* перед экзонами 1U и 1L , которые альтернативно включаются в *oct-1* мРНК.

РОС. НАЦИОНАЛЬНАЯ
БИБЛИОТЕКА
С. Петерфиру 20
09 жд 20

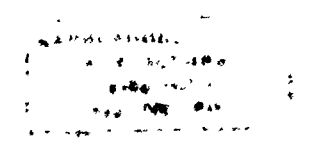
- 3 Провести поиск возможных регуляторных элементов в 5'-областях перед экзонами 1U и 1L Методами задержки подвижности в геле и футпринтинга провести поиск потенциальных регуляторных элементов, отвечающих за ауторегуляцию гена oct-1
- 4 Охарактеризовать промоторную активность 5'-областей гена *oct-1* с помощью временной экспрессии в лимфоидных и нелимфоидных клетках

Научная новизна и практическое значение работы. Белок Oct-1 - фактор транскрипции, принимающий участие в регуляции экспрессии как генов "домашнего хозяйства", так и многих тканеспецифических генов Вместе с тем о регуляции экспрессии самого гена oct-1 ничего не известно Нами впервые была клонирована 5'-нетранслируемая область гена oct-1 и проанализировано ее строение и функциональная активность, показано наличие двух альтернативных промоторов 1U и 1L - универсального и тканеспецифического, показана возможность существования ауторегуляции гена oct-1 через изменение активности промотора 1L

Результаты проведенной работы способствуют лучшему пониманию механизмов регуляции экспрессии генов эукариот, образования различных изоформ одного белка, в том числе за счет использования альтернативных промоторов Подобные данные не только углубляют представление о таких фундаментальных биологических процессах, как пролиферация и дифферецировка клеток, но и могут быть использованы при разработке новых терапевтических подходов к лечению рака и вирусных инфекций, при изучении механизмов возникновения наследственных заболеваний

Апробация работы и публикации. Материалы работы были представлены на 7<sup>о8</sup> Пущинской школе-конференции «Биология — наука XXI века» (2003), годичных конференциях федеральной подпрограммы «Геном человека» в 1998, 1999, 2002 г, по материалам диссертации опубликовано 7 печатных работ

Структура и объем работы. Диссертация изложена на страницах машинописного текста, содержит 15 рисунков и одну таблицу, состоит из введения, обзора литературы, материалов и методов, результатов и их обсуждения, выводов и списка литературы (всего 109 наименований)



#### Результаты исследования.

1.Экзон-интронная структура гена ост-1 мыши и человека.

Перед нами стояла задача определить, какой из двух экзонов, 1U или 1L, является 5'концевым в гене oct-1 и локализовать промоторную область гена oct-1 Для решения этих
задач нами была составлена экзон-интронная карта гена oct-1, определено положение
экзонов 1U и 1L и клонированы 5'-области перед этими экзонами

Локализовать на геномной ДНК положение экзонов 1U и 1L нам удалось только после того, как стала известна последовательность геномов человека и мыши в области гена oct-1 Анализ нуклеотидной последовательности из банка генов (Gene Bank acc по AC093371 6) показывает, что ген oct-1 (локус otf-1) мыши имеет протяженность более 128 т п н и содержит по крайней мере 17 экзонов, а соответствующий человеческий локус OTF-1 имеет протяженность более 195 т п н (Gene Bank acc по AL45050 и AL136984) и имеет 18 экзонов

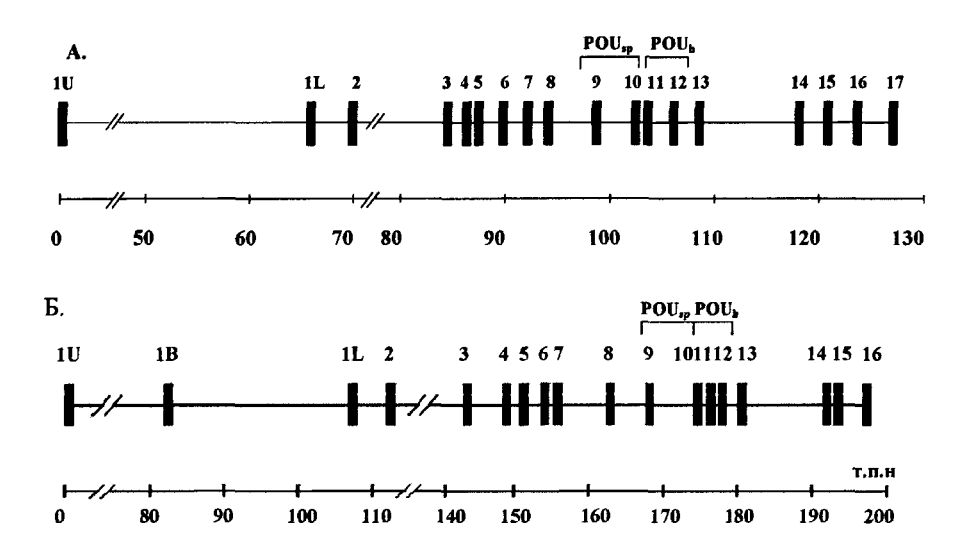


Рис 1 Строение локусов *OTF-1* и *otf-1*, где соответственно расположены гены *moct-1* (A) и *hoct-1* (Б) Черными прямоугольниками обозначены экзоны, отмечено положение РОИ-домена

Анализ нуклеотидной последовательности показал, что в локусе *otf-1* экзоны IU и IL разделяет около 67 т п н , а экзон IL в свою очередь находится на 4 т п н «выше» второго

экзона Похожая картина получена и для локуса *OTF-1* человека экзоны 1U и 1L разделяет 108 т п н , что составляет около половины длины всего гена (Puc 1)

#### 2 Клонирование и анализ 5'-областей перед экзонами 1U и 1L

В результате скрининга обогащенной геномной библиотеки был получен фрагмент 5'области гена oct-1 длиной 1,3 т п н Установление нуклеотидной последовательности 5'области гена (Рис 2) позволило локализовать первый экзон (27 п н ) и часть первого интрона первого экзона полностью соответствуют последовательности N-концевой области гена oct-1, установленной ранее и соответствуют экзону 1L В 5'-области перед экзоном 1L были найдены цис-элементы, которые могут участвовать в регуляции экспрессии гена oct-1 (Рис 2) В частности, обнаружены две канонические октамерные последовательности в разной ориентации АТТТССАТ (-370/-377 пн от начала трансляции) и ATGCAAAT (-493/-500 пн), к которым имеют высокое сродство все Осt-белки (и могут взаимодействовать белки семейства POU) Эта область содержит также три вырожденные осt-последовательности - две с заменой одного нуклеотида - ATTTGCAA (-758) и ATTTGGAT (-781), и третью со вставкой одного нуклеотида между участками, узнаваемыми POUs- и POUh-доменами ATTTgGCAT(-1126), и перекрывающийся с ней октамер ATTTCCGT (-1120) с двумя заменами В L-промоторной области гена oct-1 также как и в промоторах генов факторов транскрипции Oct-3 и Brn-4, отсутствует канонический ТАТА-бокс Наличие двух канонических осt-последовательностей говорит о возможности ауторегуляции экспрессии гена oct-1

В этой же области (положения -330/-1261) расположены пять кластеров, обогащенных А/Т-парами (Рис 2) Содержание А/Т-пар внутри кластеров более чем вдвое превышает содержание G/С-пар В промежутках между кластерами это соотношение лишь немногим больше единицы В кластерах имеются 23 гомеоспецифических мотива, каждый из которых содержит неизменную последовательность ТААТ Всего лишь один гомеоспецифический участок находится между кластерами Местоположение всех идентифицированных цисэлементов указано в нуклеотидной последовательности, приведенной на рисунке 2 Первый кластер содержит три гомеоспецифических участка и каноническую осt-последовательность в обратной ориентации АТТТССАТ Второй – семь гомеоспецифических ТААТ-участков и канонический октамер АТССАААТ Здесь обнаружены также два участка, содержащие коровую ССААТ-последовательность в разной ориентации, которая может служить мишенью для ядерных белков NF-Y В этом кластере дважды встречаются тандемы перекрывающихся регуляторных элементов Один тандем из четырех перекрывающихся

последовательностей (-493/-509) осt-, ССААТ- и двух участков, содержащих ТААТ Здесь находится также второй тандем из трех перекрывающихся гомеоспецифических участков (-50/-558) Третий кластер содержит пять гомеоспецифических ТААТ-содержащих участков и осt-последовательность с заменой С-G Четвертый – три гомеоспецифических участка

V cluster(-1261 to -1126) TAATATCTGAAACGTTATAACTTAATTTCAAACTTTAATAAACATGTTTAATGAGGCTATATATGTACAGA ACGTTTTTCTCAAACACGCAGAGGT<u>CCATTA</u>AGTGGTATTGCTTGAAAAAATAGTT<u>ATTTGGCA</u>T IV cluster(-1021 to -976) TAATCTTCTGTTAATTTGGTAGTATAAAAAGATTCACATATAATGA III cluster(-808 to -715)  $\underline{TAATT} \texttt{GTTTCCTTGG} \underline{GATTATTTGGAT} \texttt{TGTTGGAAAGCCTT} \underline{TTGCAAAT} \texttt{CCTC} \underline{TTATTA} \texttt{CTGAAGTCAT}$ TGTTGCCAGCAGGAATAAGGTTAAAGGTGCTTAAGTCTGTAGAGTTGTTTCTAATTT II cluster(-584 to -495) ATTGGANGANATCTCATTTTATCCTCCTAATTATTATGCTGGCACTCAGGAGATAATTTTTCCCTTCATGC ACTG<u>CCAAT</u>TAAT<u>ATGCAAAT</u>GTGCTGATAAATATTTATGTATTCATTT<u>AAATTA</u> I cluster(-377 to -293) and I expn (+1 to +27)  $\underline{\textbf{ATTTGCAT}} \texttt{AAGGCCC} \underline{\textbf{TATCA}} \texttt{CACGCATAC} \underline{\textbf{TGATTA}} \texttt{AGCT} \underline{\textbf{TCATTA}} \texttt{TGGAAACTGCCAGCTGCAATCTTTG}$ TTTCTATTTTATTACAAAAAGAGGAACTTTTCATGCTTCAGTTGCCTTGACAATGTCAGTCCTCGCTGGTA GAAGAGACTAAAACTCCTCAGAGCAACTGAAGTTTCCTTATTCAGTTGAAGATTG<u>CTATGGTGTAACTGAA</u> GTTGTAGTTTGCTTCTCTTGTTAATTCAGTTTCCACTCTTCCCACCCTTGTTCTCTTAAGAACATAGTACA GATTTGTTAGAAATAGTAGTTTTTCCCCCCTCCCCAAACGGTACCTGTTCCTTCTTGCTTTCGACTGTCTGC H L B C S B C V L ACCTCTTGAAGATTTTACAGCCATGCTGGACTGCAGTGACTGTGTTCTAGGTG +31 First ١V exon ٠ HindIII Psti **EceRi** 

Рис 2 Строение 1L-промотора гена *oct-1* мыши A Нуклеотидная последовательность AT-богатых кластеров, осt-сайты, вырожденные осt-сайты, сайты с коровой последовательностью и сайты ССААТ подчеркнуты Два канонических октамера выделены жирным шрифтом Нетранслируемая область кДНК и первый экзон подчеркнуты В Схема строения кластеров в промоторе гена Oct-1 мыши показаны ТААТ-коровые последовательности ( $\dagger$ ), осt- ( $\bullet$ ), вырожденные осt- ( $\nabla$ ) и ССААТ- ( $\leftrightarrow$ ) сайты Перекрывающиеся сайты подчеркнуты

Между третьим и четвертым кластерами расположен еще один гомеоспецифический участок В пятом кластере обнаружены пять гомеоспецифических участков и два перекрывающихся осt-мотива (-120/-1134)

С ТААТ-сайтами могут взаимодействовать как регуляторные белки гомеосемейства, так и POU-белки Встречаемость этих нуклеотидных последовательностей в 5'-области перед экзоном IL гена oct-/ в семь раз превышает среднестатистическую Ранее было показано, что Осt-белки взаимодействуют in vitro не только с канонической oct-последовательностью и

родственными осt-мотивами, но и с гомеоспецифическими участками Эффективность этого взаимодействия очень сильно зависит от двух 3'-концевых нуклеотидов TAATNN Такая же картина наблюдается и в случае белков гомеосемейства 3'-фланкирующие нуклеотиды определяют сродство и специфичность взаимодействия гомеобелков с олигонуклеотидами, содержащими ТААТ-участки

Таким образом, 5'-область перед экзоном 1L гена *oct-1* содержит большое число участков, узнаваемых Осt-белками, т.е. контроль экспрессии этого гена может включать механизм ауторегуляции

Кроме того, в 5'- 1L нетранслируемой области обнаружены 2 сайта связывания вездесущего фактора Sp1 (-69, -28), NF1 (-37) и Ap-2 (-70) сайты

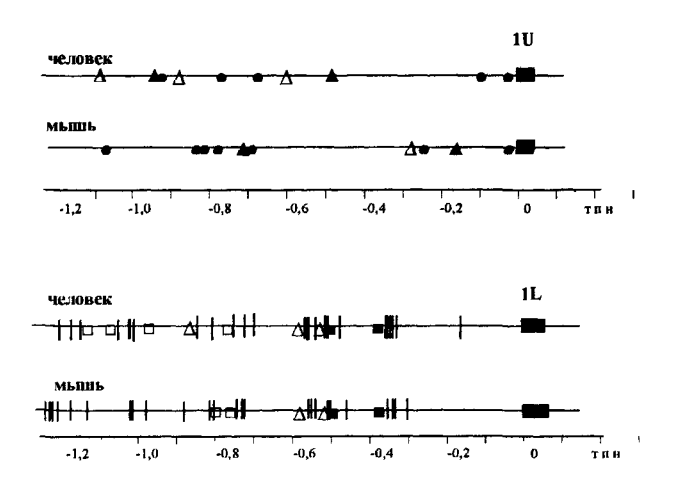


Рис 3 Схема строения промоторных областей 1U и 1L гена oct-1 человека и мыши Цветом выделены области наибольшей гомологии, показаны сайты • - Sp1, ▲ - Ap-2, △-CCAAT, ■ - octa, □ - вырожденные octa, □ - TAAT

Для анализа 5'-UTR 1U экзона гена *oct-1* мыши был проклонирован фрагмент длиной 820 п н Анализ его нуклеотидной последовательности и последовательности из Gene Bank асс по AC093371 6 показал, что данный фрагмент содержит GC-богатые участки протяженностью более 100 п н , где содержание G/C пар превышает 80%, 2 сайта Ap2 и множество сайтов Sp1, но совсем не содержит ни осt-сайтов, ни каких либо других сайтов, позволяющих говорить о возможности ауторегуляции

Анализ 5'- нетранслируемой области перед экзоном 1U человека (Gene Bank асс по AL45050) также выявил 5 сайтов Sp1, 2 сайта Ap-2 и 2 CCAAT-сайта, но при этом не обнаружены ни осt-, ни TAAT-сайты Перед экзоном 1U и мыши, и человека не обнаружено четкого группирования цис-элементов в кластеры

Анализ нуклеотидной последовательности показал, что 5'-UTR перед экзоном 1U мыши не содержит TATA-бокса, а 5'-UTR человеческого экзона 1U содержит канонический TATA-бокс

- 3. Поиск сайтов связывания, потенциально способных участвовать в ауторегуляции гена Oct-1 методом задержки подвижности в геле.
  - 3.1 Анализ ДНК-белковых комплексов.

Белки, взаимодействующие с гомеоспецифическими участками, выявляли по их способности образовывать комплекс с ТААТ-пробами, имеющими различные 3'фланкирующие нуклеотиды в положениях 5 и 6 ТААТСА, ТААТСА, ТААТТТ и ТААТТС Опыт проводили в одинаковых условиях для всех испытуемых проб Одновременно иденитфицировали ядерные белки, образующие комплекс с осt-содержащей пробой ДНК С помощью метода задержки подвижности в геле установлено, что в лизате клеток миеломы NS/0 гомеоспецифические участки образуют комплексы с белками Oct-1 и Oct-2, но с разным сродством Те же пробы взаимодействуют и с неидентифицированными белками (Рис 4) Так последовательности TAATTT и TAATGA преимущественно узнают белки Oct-1 и Oct-2 Они образуют также комплекс с низкомолекулярным белком (молекулярная масса ниже, чем у Oct-2) Образование указанных комплексов конкурентно ингибируется "холодной" пробой ДНК, содержащей осt-последовательность К пробе, содержащей ТААТСА, Осt-белки имеют слабое сродство, но зато с этой пробой связываются два других белка - низкомолекулярный (образование комплекса ингибируется "холодной" осt-пробой) и высокомолекулярный (слабо ингибируется "холодной" ост-пробой) С последовательностью ТААТТС образуют комплекс оба Oct-белка и низкомолекулярный белок (конкурентно ингибируется "холодной" осt-пробой), и еще один белок с молекулярной массой, промежуточной между Oct-1 и Oct-2. взаимодействие с которым слабо ингибируется "холодной" пробой ДНК

Таким образом, последовательности TAATTT и TAATGA имеют большее сродство к Осt-белкам по сравнению с другими гомеоспецифическими участками (TAATCA, TAATTG) С последними, как это видно из рис 4, образуют комплексы ядерные белки, которые слабо

ингибируются "холодной" осt-пробой Вероятно, это гомеобелки, не принадлежащие к семейству POU

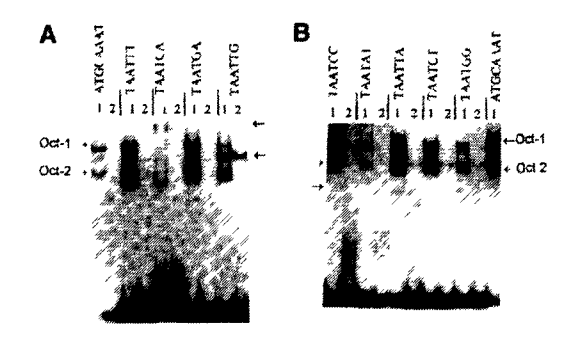


Рис 4 Анализ задержки подвижности в геле (EMSA) комплексов белков ядерных экстрактов клеток NS/0 с ДНК-зондами - элементами промотора 1L мышиного гена ост-/ Дорожки 1 - 0,3 µg зонда, меченого 32Р, 2 - реакция в присутствии 20-кратного избытка "холодного" ост-зонда Стрелками без подписей обозначены комплексы, не ингибируемые или не полностью ингибируемые добавлением "холодного" ост-зонда

3 2 Поиск методом футпринтинга сайтов связывания, потенциально способных участвовать в ауторегуляции гена oct-1

Методом ПЦР были получены фрагменты ДНК, соответствующие первому и второму АТ-богатым кластерам Методом футпринтинга были локализованы участки связывания ядерных белков из экстракта миеломных клеток NS/0 и очищенного POU-домена белка Oct-1 с соответствующими участками промоторной области

При взаимодействии белков экстрактов NS/0 с зондом 2\*-1 (Рис 5A) (соответствующим области -469/-261 п н ) обнаружено несколько участков, защищенных от расщепления A именно, осt-сайт с прилежащими к нему 13 проксимальными и 3 дистальными п н , и три менее протяженных участка, соответствующих мотивам АТТА и двум ТААТ, расположенных дистальнее области, включающей октамер Для всех указанных областей прослеживается зависимость степени защиты от концентрации белков в реакционной смеси При связывании очищенного РОИ-домена белка Oct-1 с этим же зондом видно, что защищенными оказываются те же участки, что и в опыте с экстрактами NS/0 октамер с прилежащими участками и три ТААТ-сайта (с четко прослеживающейся зависимостью от разведения белка) Защищены еще два сайта АGCCA (-436/-443 п н ) и АСТТТСВААСТ

(-  $446/-455\ \mathrm{n}$  н ), причем белки экстракта клеток NS/0 в данном случае обеспечивают более эффективную защиту по сравнению с очищенным POU-доменом Oct-1

При проведении аналогичного эксперимента с зондом 3\*-4 (Рис 5Б) показано, что другой канонический осt-сайт (-535/-541) 1L промоторной области тоже оказывался защищенным

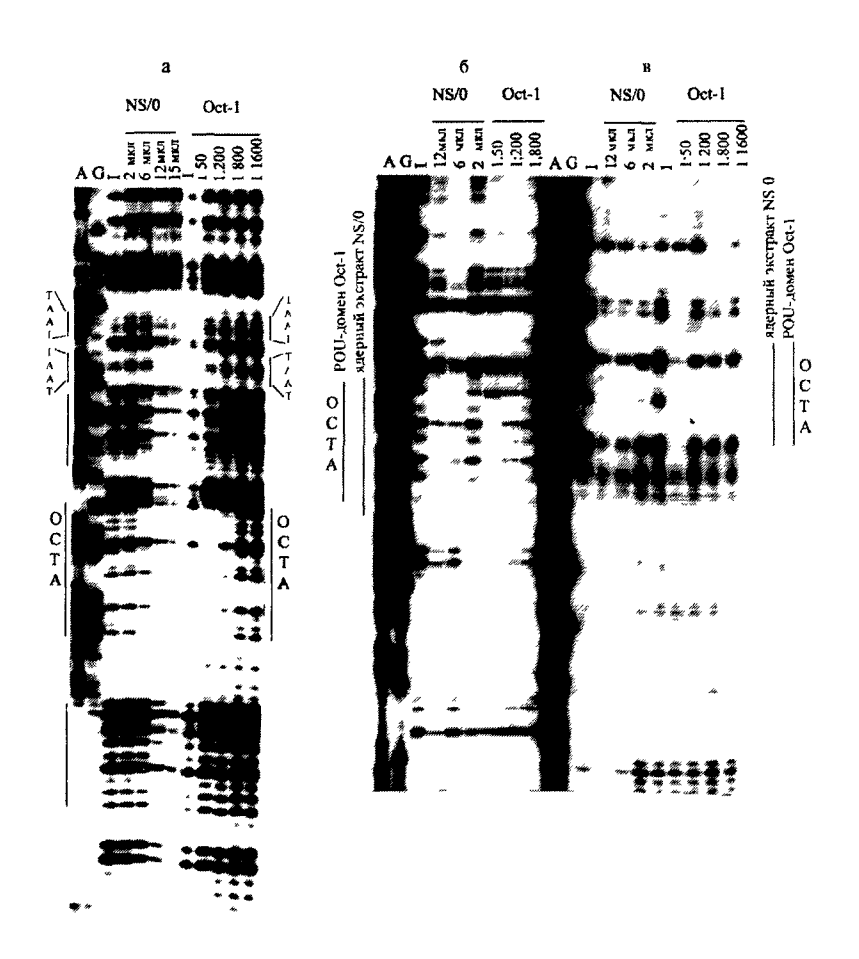


Рис 5 Локализация участков связывания ядерных белков экстрата клеток линии NS/0 и чистого POU-домена белка Oct-1 методом футпринтинга а Связывание с зондом  $2^*$ -1, б и в - связывание с зондами  $3^*$ -4 и  $4^*$ -3 соответственно Сверху указано количество клеточного экстракта ( $\mu$ I) или разведение белка, «—» - контроль в отсутствие белков, A,G — положение соответствующих нуклеотидов на нуклеотидной последовательности зонда Сбоку указано положение октамера и гомеоспецифических сайтов TAAT

как чистым РОU-доменом, так и белками клеточного экстракта Этот же осt-сайт выявляется при взаимодействии с зондом 4\*-3 (Рис 5В)

Результаты экспериментов по футпринтингу подтвердили предположение о возможности ауторегуляции экспрессии гена *oct-1*, т к oct-related и ТААТ-сайты окзываются защищенными, как в случае использования экстрактов NS/0, так и в случае очищенного РОИ-домена белка Oct-1 (Рис 5)

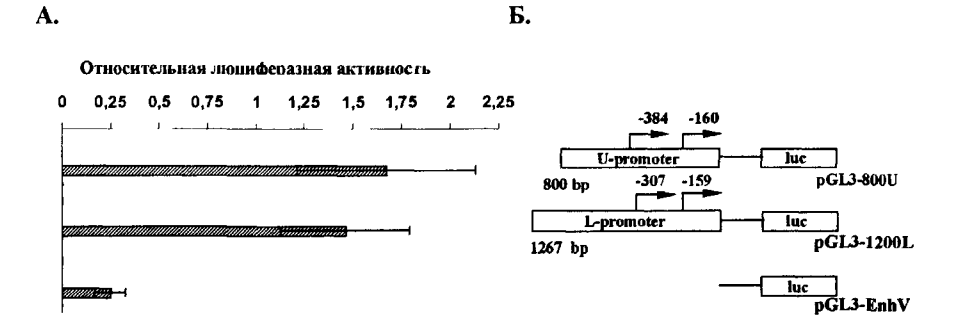


Рис 6 Промоторная активность 5'-фланкирующих областей экзонов 1U и 1L А Относительная активность люциферазы в фибробластах 10(1), трансфецированных конструкциями, показанными на рис 6Б Плазмиды, несущие ген firefly Luc под промоторами 1U или 1L, были котрансфецированы с контрольной плазмидой pRL-CMV (несет ген Rentla Luc) Активность firefly Luc была нормализована к активности Renilla Luc Показаны средние значения величин и стандартное отклонение Б Схема конструкций, использованных для трансфекции Старты транскрипции обозначены стрелками

4 Изучение промоторной активности 5'-областей пред экзонами 1U и 1L в клетках линии фибробластов 10(1).

#### 4 1 Определение активности промоторов 1U и 1L.

Временная трансфекция L-промоторной области гена *oct-1*, клонированной в векторе pCAT-Enhancer Vector (Promega), показала, что промоторная активность этой области примерно в 20 раз слабее, чем у промотора вируса SV40 (последний использовался в качестве контроля в составе вектора pCAT-control vector (Promega)

Для выявления участков, необходимых для экспрессии гена oct-1, 5'-фланкирующие области экзонов 1U (820 п н ) и 1L (1267 п н ) были проклонированы в векторе Luc reporter pGL3-Enhancer vector (Promega) и проведена транзиентная трансфекция в клетки линии фибробластов 10(1) Значительная люциферазная активность наблюдалась в этих линиях для обеих 5'-областей 1L и 1U, свидетельствуя о наличии в каждой из них функционально активного промотора (Рис 6) Полученный результат позволяет предположить, что іп vivo транскрипция гена oct-Iмыши находится под контролем двух промоторов, расположенных на расстоянии 67 т п н друг от друга

#### 4 2 Функциональный анализ 5'-фланкирующей области экзона 1L

Для более точной локализации области, отвечающей за промоторную активность, были получены делеции 1L промоторной области гена *oct-1* и клонированы в репортерный вектор pGL3-Enhancer (Рис 7) Делеция фрагмента -1267/-337 (активность pGL3-1200L по сравнению с pGL3-330L) приводит практически к полной потере промоторной активности T е область -1267/-337 содержит, по-видимому, регуляторные цис-элементы, необходимые для базальной транскрипционной активности промотора 1L

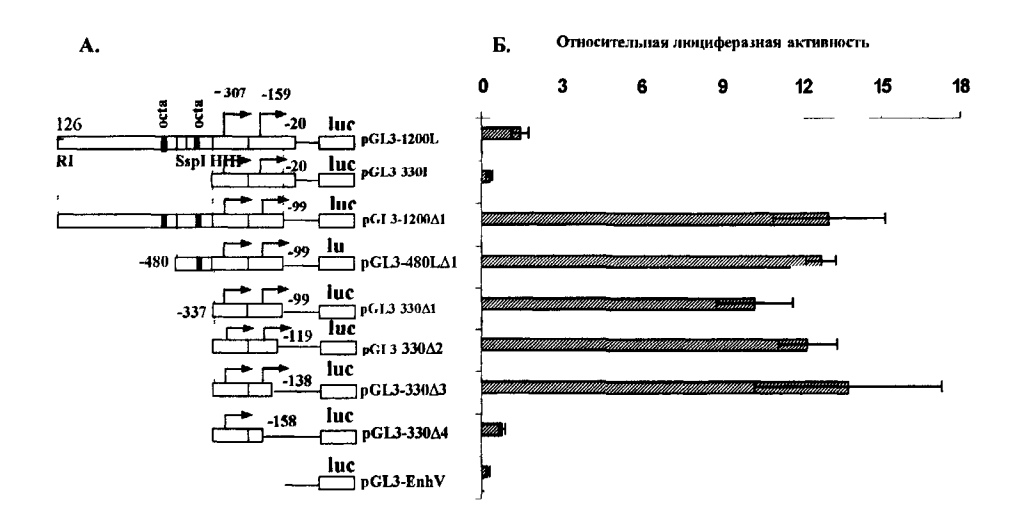


Рис 7 Определение промоторной активности различных участков промотора 1L гена *осt-1* мыши A Схемы констукций, использованных для трансфекции Б Относительная активность люциферазы в фибробластах 10(1), трансфецированных плазмидами, изображенными на рис 6A

Ингибиторный элемент находится на позиции -99/-20 промотора 1L (Рис 7) делеция фрагмента -99/-20 приводит к почти девятикратному увеличению активности промотора ( ср конструкций pGL3-1260L и pGL3-1200 $\Delta$ 1)

Делеция фрагмента -1267/-337 также вызывает практически полное выключение промотора (ср активность pGL3-1260L и pGL3-330L) Удаление области промотора -20/-99 приводит не только к восстановлению промоторной активности, но и ее восьмикратному увеличению по сравнению с исходной (pGL3-1200∆1, pGL3-480∆1, pGL3-330∆1) Компьютерный анализ показал, что этот ингибиторный участок содержит два Sp-1 сайта, и сайты связывания NF-1 и Ap-2 Дальнейшее делстирование фрагмента -99/-138 повышает уровень экспрессии еще почти на 30% (pGL3-330∆1, pGL3-1260∆2, pGL3-1260∆3) Дальнейшее делетирование фрагмента 20 п н, содержащего проксимальный сайт старта транскрипции, разрушает промотор, лишая его активности (pGL3-330∆4)

Вместе взятые эти данные позволяют предположить, что во-первых, «минимальный промотор» локализован между -337 и -137 п и , и, во-вторых, участок между -20 и -99 п и содержит ингибиторный цис-регуляторный элемент

5 Изучение активности промоторов 1U и 1L в зимфоидных и незимфоидных клетках

Ряд полученных конструкций с делециями с 5'- и 3'-концов были проклонированы в рGL3-Епһапсег (содержит энхансер вируса SV40) и рGL3-Ваѕіс векторах, несущих репортерный ген люциферазы firefly luc Промоторную активность определяли в трансфецированных клетках линий миеломы NS/0 и фибробластов 10(1) Основная цель эксперимента, изображенного на рис 8, состояла в сопоставлении активности 1U и 1L промоторных областей в лимфоидных NS/0 и нелимфоидных 10(1) линиях клеток В качестве контроля использовался вектор pRL-CMV, несущий ген люциферазы Rentla luc Из рис 8 видно, что промоторная активность, локализованная в области1L, в несколько раз ниже соответствующей активности 1U области Это различие особенно заметно в отношении конструкции L1(pGL3-1200L), которая содержит дистальный осt-сайт В то же время в клетках NS/0 активность транскрипции с 1L промотора даже в отсутствие энхансера многократно возрастала Включение энхансера в конструкцию усиливало промоторную активность L1 в несколько раз и практически не оказывало влияния на активность промотора U (Рис 8) Удивительно сильно эффект энхансера проявлялся в конструкции L2 (pGL3-1200Δ1), как в нелимфоидных, так и, в осбенности, лимфоидных клетках

В отсутствие энхансера промотор 1L не активен, однако, делеция участка -99/-20 приводит к тому, что в лимфоидных клетках промотора 1L становится сравнима с активностью промотора 1U В присутствии энхансера (рGL3 Enhancer Vector) в клетках миеломы NS/0 активность 1L промотора возрастает многократно и превышает активность промотора 1U, а в фибробластах становится сравнима с активностью 1U промотора В присутствии энхансера делеция -99/-20 вызывает увеличение активности промотора 1L по сравнению с активностью промотора 1U в миеломе NS/0 в 14 раз, а в фибробластах 10(1) примерно в 7 раз

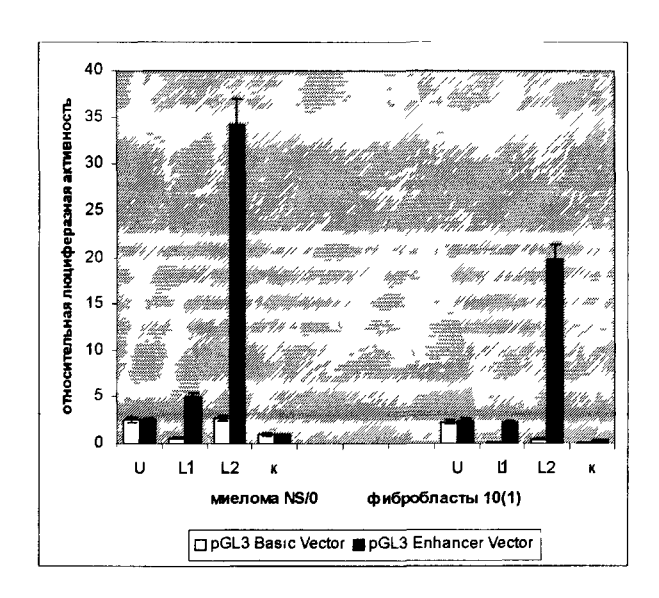


Рис 8 Относительная люциферазная активность промоторов 1U (U) и 1L (конструкции L1 и L2) в лимфоидной клеточной линии NS/0 и линии фибробластов 10(1) в присутствие и в отсутствии энхансера При определении относительной активности за единицу была принята активность 1U-промотора

#### Обсуждение результатов

Экспрессия многих генов, вовлеченных в сложные клеточные процессы, регулируется на разных уровнях Альтернативный сплайсинг - наиболее изученный механизм тонкой регуляции экспрессии генов, проиводящий к образованию нескольких белковых изоформ с одного гена По последним оценкам альтернативному сплайсингу подвергаются РНК 35-50%

генов человека В последнее время накапливается все больше сведений, касающихся регуляции транскрипции с помошью альтернативных промоторов - еще одного источника как белкового, так и регуляторного разнообразия Альтернативные промоторы обеспечивают тонкую временную либо тканеспецифическую регуляцию экспрессии гена Во многих случаях один из промоторов является конститутивным и отвечает за экспрессию гена во многих тканях и типах клеток, обеспечивая синтез белков «домашнего хозяйства» или вездесущих белков Другой промотор обладает определенной тканеспецифичностью и отвечает за синтез белков, экспрессируемых лишь в некоторых тканях и/или на определенных стадиях дифференцировки и развития По данным Landry и соавт экспрессия от 9% до 18% генов млекопитающих регулируется более чем с одного промотора Этот механизм, наряду с механизмами альтернативного сплайсинга, обеспечивает тонкую пространственную и временную регуляцию экспрессии генов, необходимую для развития и жизнедеятельности сложных многоклеточных организмов По данным Landry и соавт альтернативные промоторы можно подразделить на несколько типов (Рис 9) Простейший и наиболее распространенный случай, когда при использовании любого из альтернативных промоторов получается белковый продукт с идентичной открытой рамкой считывания К этой группе, видимо, отностися 60-80% генов, имеющих альтернативные промоторы Поскольку белок остается неизменным, различие состоит только в месте (тканеспецифичность) или времени его появления (специфичен для какой-либо стадии развития или дифференцировки) В остальных случаях к возможным различиям в транскрипции добавляется появление двух или более белковых изоформ с различными Nконцами (Рис 9b) или и вовсе другой ORF (Рис 9c), хотя последний случай является, повидимому, большой редкостью Существование трех белковых изоформ, отличающихся Nконцевой последовательностью и появляющихся за счет активации транскрипции с одного из трех альтернативных промоторов, описано в частности для фактора Skn-1/Oct-11 человека, экспрессирующегося в коже и принимающего участие в регуляции пролиферации и дифференцировки кератиноцитов

В данной работе охарактеризованы две области гена Oct-1 мыши, одна из которых (длиной 820 п н ) граничит с экзоном 1U данного гена, а вторая (1300 п н ) - с экзоном 1L Эти области содержат соответственно U и L промоторы гена Oct-1, различающиеся по нуклеотидному составу и содержанию функциональных элементов, которые могут связываться с ядерными белками и участвовать в регуляции экспрессии гена Последовательность перед 1U экзоном обогащена G/C парами В некоторых участках,

превышающих по длине 100 п н , содержание G/C пар превышает 80% Анализ цисэлементов обнаружил здесь большое число сайтов связывания белка Sp1

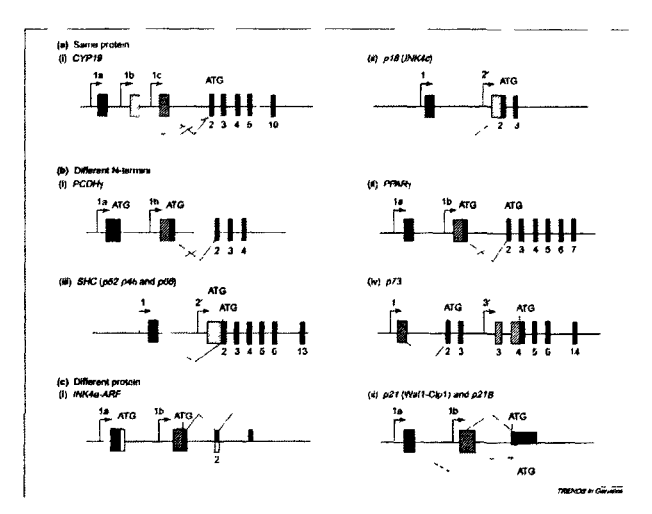


Рис 9 Типы альтернативных промоторов [по Landry и соавт *TRENDS in genetics* 19, 640-648] (а) Использование альтернативных промоторов (обозначены стрелками) не проиводит к появлению белковых изоформ, т к сайт инициации трансляции расположен в начале второго второго экзона Транслируемые экзоны обозначены черным, 3'-UTR не показан (b) С альтернативних промоторов кодируются изоформы с разными N-концевыми последовательностями (c) Использование альтернативных промоторов приводит к образованию белков, транслирующихся в разных ORF (представлены белыми и черными прямоугольниками) Для всех приведенных примеров указаны названия соответствующих генов челевска и мыши (кроме случая с(i), который описан только для человека) В некоторых случаях не все промоторы показаны на рисунке

Анализ 5'-области перед экзоном 1L выявил здесь наличие пяти А/Т-богатых цис-последовательности кластеров, содержащих регуляторные двух отношению ATG-кодону, проксимальных по K содержатся канонические octпоследовательности в прямой (ATGCAAAT) и обратной (ATTTGCAT) ориентации, с которыми взаимодействуют белки семейства POU В 1L промоторной области гена Oct-1 так же, как и в промоторах генов факторов транскрипции Ост-3 и Вгп-4, отсутствует канонический ТАТА-бокс Наличие двух канонических ост-последовательностей и сайтов ТААТ говорит о возможности ауторегуляции гена Ост-1 Ауторегуляция свойственна, видимо, факторам семейства РОИ Этот механизм, в частности, реализуется при экспрессии гена Pit-1, и вероятно Brn-4

В области -1261/-330 п н выявлены также 24 гомеоспецифических ТААТ-содержащих участка, с которыми могут взаимодействовать как регуляторные белки гомеосемейства, так и РОU-белки Встречаемость этих нуклеотидных последовательностей в области L-промотора в семь раз превышает среднестатистическую

Показано, что Ост-белки способны связываться с сайтами, содержащими ТААТ, за счет своего РОИ-гомеодомена (как гомеобоксные факторы транскрипции), так что ТААТсайты являются функциональными для Ост-белков in vivo Большое количество этих последовательностей в L-промоторе и их упорядоченность говорят о том, что гомео-участки могут играть роль в регуляции экспрессии гена Oct-1 В 1L промотороной области гена Oct-1 из 16 возможных вариантов последовательностей TAATNN представлены 10 Нами были изучены те из них, которые встречаются чаще других и находятся в первом и втором кластерах (TAATCA. TAATTT. TAATGA). особенно по соседству octпоследовательностью (ТАЛТТС, ТАЛТСА) Гомеоспецифические участки, обнаруженные в промоторной области 1L, могут функционировать несколькими способами во-первых, одни из них взаимодействуют преимущественно с Oct-белками (TAATGA, TAATTT), во-вторых, другие мотивы имеют повыщенное сродство к гомеобелкам (ТААТСА, ТААТТС), в-третьих. не все последовательности, содержащие ТААТ, могут быть функционально активны (участвуют непосредственно в инициации транскрипции), однако имея достаточно высокое сродство к Ост-белкам, они могут их связывать и, таким образом, играть роль накопителей и увеличивать докальную концентрацию Ост-белков на данном участке хромосомы Мы предполагаем, что регуляция экспрессии reнa Oct-1 может осуществляться как при участии неизвестных нам гомеобелков, так и посредством ауторегуляции через оста- и гомсоспецифические последовательности, с которыми POU-гомеодомен Oct-белков устанавливает специфические контакты

В регуляции экспрессии гена Oct-1 участвуют, вероятно, и другие факторы транскрипции, в частности белки семейства NF-Y (ССААТ-белки) Ранее было показано, что белок С/ЕВР, связывающийся с энхансером, содержащим последовательность ССААТ, и белок Oct-1 являются антагонистами в регуляции гена интерлейкина 8 В этом случае белок Oct-1 сильно подавляет транскрипцию с промотора гена интерлейкина 8, связываясь с осt-последовательностью, перекрывающейся с участком ССААТ, узнаваемым С/ЕВР Во втором А/Т-богатом кластере промоторной области 1L присутствуют две последовательности, содержащие ССААТ в разной ориентации (Рис 2) Одна из них находится на расстоянии 4 п н от осt-последовательности и перекрывается с сайтом ТАТТС, с которым в клетках NS/0 взаимодействует неизвестный белок (вероятно, гомеобелок) (Рис 3) Эта область (-493/-509)

п н ) состоит из четырех перекрывающихся цис-элементов осt-последовательности, двух гомеоспецифических участков и ССААТ (Рис 2), что может свидетельствовать о тесном взаимодействии в регуляции экспрессии гена Oct-1 гомеобелков, Осt-белков и белков, связывающихся с ССААТ Распределение сайтов связывания по кластерам тоже может свидетельствовать о кооперативности и о сложной картине взаимодействия белков, участвующих в регуляции экспрессии гена Oct-1

Как показано в настоящей работе, тканеспецифическая регуляция транскрипции гена Oct-1 мыши может осуществляться на стадии инициации транскрипции В этот процесс вовлечены два промотора, энхансер и ингибирующие регуляторные элементы Из рис 8 видно, что в лимфоидных клетках NS/0 экспрессия с промотора L в несколько раз возрастает по сравнению с экспрессией в линии фибробластов 10/1 Это проявляется особенно отчетливо при трансфекции в клетки конструкций, содержащих внешний энхансер SV40 Сходный результат наблюдался ранее при исследовании регуляции экспрессии гена Oct-1 человека Следует отметить, что энхансер оказывал незначительное влияние на транскрипцию с промотора U

Oct-1 является вездесущим фактором транскрипции, который в виде нескольких субформ обнаружен во всех тканях, однако содержание отдельных субформ и их набор сильно варьируют в разных тканях

Тканеспецифическая экспрессия генов может быть опосредована несколькими механизмами Во-первых, на уровне экспрессии гена Oct-1 происходит альтернативная инициация транскрипции с двух промоторов и альтернативный сплайсинг про-мРНК, в результате чего в клетках иммунной системы и в мозге образуются субформы, которые не обнаружены в других тканях А именно, Oct-1L и Oct-1R, которые экспрессируются в лимфоцитах Эти субформы генерируются в незрелых В-лимфоцитах, в клетках селезенки и лимфатических узлов Клетки миеломы NS/0, соответствующие терминальной стадии дифференцировки В-лимфоцитов, содержат много Oct-11 РНК В небольших количествах эта РНК содержится в клетках тимуса и Т-клегочной лимфомы EL-4 Во-вторых, белок Oct-1 способен образовывать комплексы с тканеспецифическим ко-регулятором ОСА-В/ОВГ-1/Bob-1. обязательным условием активации является промоторов иммуноглобулинов в зрелых В-клетках Другой коактиватор - ОСА-S, синтезирующийся во всех клетках, образует комплекс с Осt-1, необходимый для активации промотора гистона Н2В и системы клеточной пролиферации

Транскрипция в большей мере зависит, как правило, от относительной концентрации регуляторного фактора, чем от его только наличия или отсутствия Как было показано ранее,

достаточно 2х-3х кратного изменения этой величины, чтобы достичь изменений в регуляции (обеспечить дифференциальную регуляцию) транскрипции Осt-1 - вездесущий фактор транскрипции, тем не менее уровень его экспрессии в разных типах клеток неодинаков и подлежит регуляции Как показали Veenstra и соавт, по крайней мере шестикратное различие в концентрации Осt-1 паблюдается в эмбриональных клетках Относительно высокий уровень экспрессии Осt-1 при этом не коррелирует с высоким уровнем клеточной пролиферации Показано, что в процессе развития происходит дифференциальная регуляция экспрессии Осt-1 первоначально высокий уровень экспрессии Осt-1 затем сохраняется во все более ограниченной области, те подвергается прогрессирующей пространственной рестрикции Осt-1, вероятно, участвует в дифференцировке клеток иммунной системы и в специализации и дифференцировке нейронов и клеток нервного гребня

Регуляция уровня Oct-1 в клетках, по-видимому, происходит с использованием двух различных промоторов, требующих разных условий для активации и репрессии Несмотря на разницу в структурной организации, оба промотора 1U- и 1L- имеют черты, общие для промоторов генов «домашнего хозяйства» Кроме того, один из них может быть конститутивным, а другой - индуцибельным Нами был обнаружен ингибиторный участок (-99/-20) в промоторе 1L Делетирование этого участка вызывает почти 9-ги кратное увеличение люциферазной активности Этот район содержит сайты связывания белков Sp-1, Ар-2 и NF-1 Ранее было показано, что в области, содержащей дистальный осt-сайт, имеется сайленсерный участок, что находится в соответствии с результатом, полученным в данном исследовании В данной работе обнаружен мощный ингибирующий элемент в области между стартами инициации транскрипции и трансляции (-20/-99) Удаление этого участка увеличивает экспрессию репортерного гена Luc в присутствии энхансера в 7 раз в клетках линии 10/1 и в 14 раз в клетках линии NS/0 Эта область содержит сайты связывания белков Sp1, Ap-2 и NF-1 Известно, что уровень Sp1 и Ap-2 регулируется при развитии организма Sp1 и NF-1 являются вездесущими факторами транскрипции, в то время как уровень Ap-2 наиболее высок в клетках нервного гребня и их производных Экспрессия некоторых факторов транскрипции, относящихся к РОИ-семейству, регулируется тканеспецифически с преобладанием их содержания в клетках нервной и иммунной систем

Некоторые факторы семейства POU, в том числе принимающие участие в развитии головного мозга и нейрогенезе или в развитии иммунной системы, экспрессируются тканеспецифически, в то время как Oct-1 экспрессируется повсеместно Однако экспрессия Oct-1 также может подвергаться тканеспецифической регуляции с использованием по крайней мере трех механизмов Во-первых, тканеспецефические изоформы Oct-1

экспрессируются в лимфоидных клетках и в мозге Во-вторых, Oct-1 может формировать комплексы с тканеспецифическими корегуляторами, например с OCA-B/OBF-1/Воb 1 чтобы активировать иммуноглобулиновые промоторы в зрелых В-клетках И в-третьих, тканеспецифическая экспрессия, вероятно, может зависеть от активности промотора L в том или ином клеточном типе

#### Выводы.

- 1 Составлена экзон-интронная карта гена oct1-1 мыши и человека, локализовано положение экзона 1L экзоны 1U и 1L разделяют 67 т п н и 108 т п н в генах мыши и человека соответственно
- 2 Проклонированы 5'-нетранслируемые области экзонов 1U и 1L гена Осt-1мыши
- 3 Составлена карта потенциальных регуляторных сайтов этих областей, проведен анализ строения промоторов 1U и 1L гена Осt-1 человека и мыши Перед экзоном 11 обнаружены сайты, потенциально способные обеспечить ауторегуляцию гена Осt-1
- 4 С помощью временной трансфекции функционально охарактеризованы промоторные области 1U и 1L Для промотора 1L мыши локализован "минимальный промотор" в области -337/-137 Обнаружен ингибиторный элемент в области -99/-20, удаление которого приводит к могократному увеличению промоторной активности
- 5 Проведен анализ активности 1U и 1L промоторов в лимфоидных и нелимфоидных клетках, показана тканеспецифическая экспрессия промотора 1L в лимфоидных клетках

#### Список публикаций по теме.

- 1 Сытина ЕВ, Панкратова ЕВ 2003 Фактор транскрипции Ост-1 пластичность и полифункциональность Молекулярная Биология, т 37 (5) 755-67
- 2 Pankratova EV, Sytina EV, Luchina NN, Krivega IV 2003 The regulation of the oct-1 gene transcription is mediated by two promoters Immunol Lett. v 88(1) 15-20
- 3 Панкратова ЕВ, Сытина ЕВ, Степченко АГ, Поляновский ОЛ Ост-гены и Ост-факторы транскрипции 1998 Тезисы отчетной конференции по программе "Геном человека", с 54
- 4 Панкратова ЕВ, Сытина ЕВ, Юдина ГФ, Степченко АГ, Поляновский ОЛ Регуляция экспрессии генов Oct-1 иOct-2 1999 Тезисы отчетной конференции по программе "Геном человека", с 72
- 5 Панкратова ЕВ, Деев ИЕ, Женило СВ, Лучина НН, Сытина ЕВ, Поляновский ОЛ Регуляция экспрессии фактора транскрипции Oct-1 и образование его тканеспецифических субформ в клетках иммунной системы 2002 Тезисы отчетной конференции по программе "Геном человека", с 74
- 6 Pankratova E, Sytina E, Luchina N, Krivega I, Manuylova E 2003 Oct-1 gene alternative splicing and transcription regulation Advances in molecular cell biology Conference devoted to the 10<sup>th</sup> anniversary of the Center for Medical Studies (1993-2003) 149-158
- 7 Сытина ЕВ, Лучина НН, Кривега ИВ, Панкратова ЕВ Регуляция экспрессии вездесущего фактора транскрипции Осt-1 опосредована двумя промоторами 2003 Тезисы доклада Сборник тезисов 7<sup>ов</sup> Пущинской школы-конференции молодых ученых "Биология наука XXI века", с 380

## **#10492**

РНБ Русский фонд

2006-4 9489